

УДК 532.517.4

Долинский А.А., Мартыненко М.П., Басок Б.И., Чайка А.И.

Ин-т технической теплофизики НАН Украины

## ЧИСЛЕННОЕ МОДЕЛИРОВАНИЕ ГИДРОДИНАМИЧЕСКИХ ПРОЦЕССОВ В ПУЛЬСАЦИОННОМ ЭКСТРАКТОРЕ

Розглянуто комп'ютерну кінцево-елементну модель розрахунку гідродинаміки в пульсаційному екстракторі. Наведено поля векторів швидкості в різні моменти часу. Проаналізовано результати проведеного числового розрахунку.

Рассмотрена компьютерная конечно-элементная модель расчета гидродинамики в пульсационном экстракторе. Представлены поля векторов скорости в различные моменты времени. Обсуждены результаты проведенного численного исследования.

The computer finite-element model of hydrodynamic calculation at pulse extractor is considered. Fields of magnitude velocity at different time moment are presented. The results of relevant numerical data are discussed.

$A$  – амплитуда колебаний скорости;  
 $C$  – константы;  
 $D$  – диаметр реактора рабочей емкости;  
 $d$  – диаметр трубы;  
 $G_k$  – генерация турбулентной кинетической энергии обусловленная градиентом средней скорости;  
 $h$  – глубина погружения трубы пульсатора;  
 $k$  – кинетическая энергия турбулентности;  
 $L$  – высота реактора рабочей емкости;  
 $u$  – продольная составляющая скорости;  
 $Pr$  – число Прандтля;  
 $p$  – статическое давление;  
 $r$  – радиальная координата;  
 $t$  – время;  
 $v$  – скорость;  
 $x$  – осевая координата;  
 $y$  – безразмерное расстояние по нормали стенки;  
 $\alpha$  – обратное число Прандтля;  
 $\beta$  – коэффициент термического расширения;  
 $\varepsilon$  – скорость диссипации;  
 $\eta$  – скорость деформации;

$\mu$  – коэффициент эффективной вязкости;  
 $\rho$  – плотность;  
 $\tau$  – касательное напряжение;  
 $v$  – радиальная составляющая скорости;  
 $\Omega_{ij}$  – тензор скорости деформации;  
 $\omega$  – амплитуда колебаний средней скорости.

### Индексы:

$k$  – обусловленное кинетической энергией турбулентности;  
 $\max$  – максимальное;  
 $\min$  – минимальное;  
 $\text{mol}$  – молекулярная;  
 $p$  – относится к ближайшему к стенке узлу;  
 $t$  – турбулентная;  
 $w$  – стенка;  
 $\varepsilon$  – обусловленное диссипативным масштабом;  
 $0$  – начальная;  
 $a$  – аксиальное значение,  
 $s$  – срез.

### Сокращения:

РНГ – ренормгрупповая;  
 МНР – модель напряжений Рейнольдса.

### 1. Введение

Экстрагирование компонентов из твердого тела широко распространено в химической, фармацевтической и других отраслях промышленности. В ИТТФ НАН Украины

коэффициентного оборудования для экстрагирования из растительного сырья [1]. Моделированию работы таких устройств посвящены работы [2-4], в частности, в [2] представлена математическая модель, позволяющая рассчитать оптимальные

геометрические размеры камеры пульсатора. Численному моделированию нестационарных процессов турбулентного переноса при пульсационном воздействии, применительно к обработке металлов, посвящена глава в [4], где приведен расчет гидродинамики и тепломассообмена затвердевающего слитка на основе стандартной  $k$ - $\varepsilon$  модели турбулентности. Апробация современных моделей турбулентности, таких как стандартная  $k$ - $\varepsilon$  модель, РНГ модель и МНР в задаче истечения среды в осесимметричный тупик была проведена в [5], где было показано, что оптимальной моделью для расчета аппаратов подобной геометрии является РНГ модель турбулентности.

Целью настоящей работы является исследование гидродинамики в реакторе пневмопульсационного перемешивающего устройства камерного типа при помощи РНГ модели турбулентности и определение оптимальной глубины погружения трубы пульсатора в реактор и технологических режимов его работы.

## 2. Постановка задачи и метод решения

### 2.1. Постановка задачи

Исследовалось истечение струи в наполненный водой реактор. Схема расчетной области представлена на рис. 1. Реактор рабочей емкости выполнен в виде цилиндра высотой  $L$  и диаметром  $D$ , нижнее основание которого имеет форму конуса. Сверху в рабочей области установлена труба пульсатора диаметром  $d$  с глубиной погружения  $h$ . Предполагается, что среда из камеры пульсатора выходит со скоростью  $u_c$ . В нижнем основании конуса возможно подключение второй трубы нижнего пульсатора.

Граничные условия следующие. На входе 1 предполагается, что профиль продольной скорости равномерный и изменяется во времени по гармоническому закону:  $u_c = A \sin \omega t$ , где  $A = 4$  м/с амплитуда колебаний скорости,  $\omega = 0,4$  1/с – их частота. Кинетическая энергия турбулентности принимается равной  $1$  м<sup>2</sup>/с. На оси симметрии 2 при определении значений частных производных принималось, что их величина равна величине в соседней ячейке. На стенках 3, 4 и 6 полагалось, что они абсолютно гладкие, нормальная компонента скорости равна нулю, а касательное напряжение вычислялось по логарифмическому закону

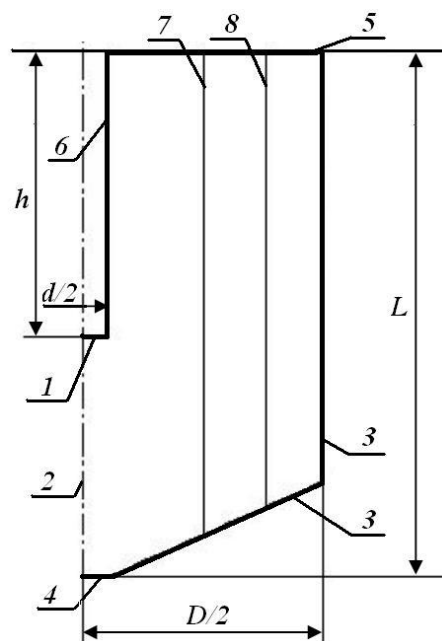


Рис. 1. Схема расчетной области пневмопульсационного устройства камерного типа: 1 – вход; 2 – ось симметрии; 3, 4 – стенка реактора; 5 – выход; 6 – стенка трубы; 7, 8 – сечения на расстоянии  $0,5r$  и  $0,75r$ , в которых исследовались параметры.

справедливному для развитого турбулентного режима течения:

$$\tau_w = \frac{u_p C_\mu^{1/4} k^{3/2}}{\rho \ln \left( \frac{E C_\mu^{1/4} k^{1/2} y_p}{\mu} \right)}, \quad (1)$$

где константа  $E = 9$  для плоской стенки.

На выходе 5 предполагается, что профиль продольной скорости равномерный и изменяется во времени по гармоническому закону вида:  $u_c^* = A^* \sin \omega t$ , где  $u_c^*$  и  $A^*$  определены, исходя из баланса массы.

### 2.2. РНГ модель турбулентности

Основные положения РНГ модели получены из ренормализационно-группового анализа турбулентности, который позволяет унифицировать модель для различных типов течения [6]. Система дифференциальных уравнений осредненного турбулентного движения несжимаемой жидкости в двумерном осесимметричном случае имеет вид:

Аксиальное уравнение количества движения:

$$\begin{aligned} & \frac{\partial}{\partial t}(\rho u) + \frac{1}{r} \frac{\partial}{\partial x} (r \rho u^2) + \frac{1}{r} \frac{\partial}{\partial r} (r \rho u v) = \\ & = -\frac{\partial p}{\partial x} + \frac{1}{r} \frac{\partial}{\partial x} \left[ r \mu \left( 2 \frac{\partial u}{\partial x} - \frac{2}{3} (\nabla \cdot \vec{v}) \right) \right] + \\ & + \frac{1}{r} \frac{\partial}{\partial r} \left[ r \mu \left( \frac{\partial u}{\partial r} + \frac{\partial v}{\partial x} \right) \right]. \end{aligned} \quad (2)$$

Радиальное уравнение количества движения

$$\begin{aligned} & \frac{\partial}{\partial t}(\rho v) + \frac{1}{r} \frac{\partial}{\partial x} (r \rho v u) + \frac{1}{r} \frac{\partial}{\partial r} (r \rho v^2) = \\ & = -\frac{\partial p}{\partial x} + \frac{1}{r} \frac{\partial}{\partial x} \left[ r \mu \left( \frac{\partial v}{\partial x} + \frac{\partial u}{\partial r} \right) \right] + \\ & + \frac{1}{r} \frac{\partial}{\partial r} \left[ r \mu \left( 2 \frac{\partial v}{\partial r} - \frac{2}{3} (\nabla \cdot \vec{v}) \right) \right] - \\ & - 2\mu \frac{v}{r^2} + \frac{2}{3} \frac{\mu}{r} (\nabla \cdot \vec{v}), \end{aligned} \quad (3)$$

где

$$\nabla \cdot \vec{v} = \frac{\partial u}{\partial x} + \frac{\partial v}{\partial r} + \frac{v}{r}.$$

Уравнение неразрывности в осесимметричной постановке:

$$\frac{\partial \rho}{\partial t} + \frac{\partial}{\partial x}(\rho u) + \frac{\partial}{\partial r}(\rho v) + \frac{\rho v}{r} = 0. \quad (4)$$

Модель турбулентности следующая. Уравнение для кинетической энергии турбулентности:

$$\begin{aligned} & \rho \frac{\partial k}{\partial t} + \frac{1}{r} \frac{\partial}{\partial r} (r \rho v k) + \frac{1}{r} \frac{\partial}{\partial x} (r \rho u k) = \\ & = \frac{1}{r} \frac{\partial}{\partial r} \left( r \alpha_k \mu \frac{\partial k}{\partial r} \right) + \frac{1}{r} \frac{\partial}{\partial x} \left( \frac{\alpha_k \mu}{r} \frac{\partial k}{\partial x} \right) + G_k - \rho \varepsilon, \end{aligned} \quad (5)$$

а уравнение для скорости диссипации:

$$\begin{aligned} & \rho \frac{\partial \varepsilon}{\partial t} + \frac{1}{r} \frac{\partial}{\partial r} (r \rho v \varepsilon) + \frac{1}{r} \frac{\partial}{\partial x} (r \rho u \varepsilon) = \\ & \frac{1}{r} \frac{\partial}{\partial r} \left( r \alpha_\varepsilon \mu \frac{\partial \varepsilon}{\partial r} \right) + \frac{1}{r} \frac{\partial}{\partial x} \left( \frac{\alpha_\varepsilon \mu}{r} \frac{\partial \varepsilon}{\partial x} \right) + \\ & + (C_{1\varepsilon} \varepsilon G_k - C_{2\varepsilon} \rho \varepsilon^2) \frac{1}{k} - R. \end{aligned} \quad (6)$$

Входящие сюда модельные константы принимают следующие значения:  $C_{1\varepsilon} = 1,42$ ;  $C_{2\varepsilon} = 1,68$ . Слагаемое  $R$  в уравнении для диссипативного масштаба отличает ренормгрупповую модель от стандартной  $k$ - $\varepsilon$ , причем согласно [7]

$$R = \frac{C_\mu \rho \eta^3 (1 - \eta/\eta_0) \varepsilon^2}{1 + \beta \eta^3} \frac{1}{k}, \quad (7)$$

где  $\eta = \frac{k}{\varepsilon} \sqrt{2\Omega_{ij}\Omega_{ij}}$ ,  $\eta_0 = 4,38$ ,  $\beta = 0,012$ ,

$$\Omega_{ij} = \frac{1}{2} \left( \frac{\partial u_j}{\partial x_i} + \frac{\partial u_i}{\partial x_j} \right).$$

В отличие от стандартной  $k$ - $\varepsilon$  модели турбулентная вязкость определяется из дифференциального уравнения, полученного при помощи процедуры исключения высокочастотных флуктуаций величин по теории ренормгрупп:

$$d \left( \frac{\rho^{1/2} k}{\sqrt{\varepsilon \mu}} \right) = 1,72 \frac{v}{\sqrt{v^3 - I + C_v}} dv, \quad (8)$$

где  $v = \frac{\mu}{\mu_{\text{mol}}}$ , а  $C_v \approx 100$ .

Уравнение (8) обобщает описание зависимости переноса эффективной турбулентности от эффективного числа Рейнольдса (или вихревого масштаба). Поэтому эта модель лучше описывает течения с низкими числами Рейнольдса и пристенные области.

При высоких числах Рейнольдса уравнение (8) принимает вид

$$\mu_t = \rho C_\mu \frac{k^2}{\varepsilon}, \quad (9)$$

где  $C_\mu = 0,0845$  определена из теории ренормгрупп [8].

Обратные эффективные числа Прандтля  $\alpha_k = 1/Pr_k$  и  $\alpha_\varepsilon = 1/Pr_\varepsilon$  рассчитываются по следующей формуле, выведенной аналитически в теории ренормгрупп:

$$\left| \frac{\alpha - 1,3929}{\alpha_0 - 1,3929} \right|^{0,6321} \left| \frac{\alpha + 2,3929}{\alpha_0 + 2,3929} \right|^{0,3679} = \frac{\mu_{\text{mol}}}{\mu}. \quad (10)$$

где  $\alpha_0 = 1,0$ . При приближении к высоким числам Рейнольдса ( $\mu_{\text{mol}} / \mu \ll 1$ ) и  $\alpha_k = \alpha_\varepsilon \approx 1,393$ .

### 2.3. Численная модель и расчетная процедура

Для нахождения численного решения использовался метод конечных объемов [9]. Линеаризация проводилась по неявной схеме. Перед расчетом была исследована независимость решения от размеров расчетной сетки. Решение нелинейной системы уравнений находили с помощью последовательных итераций для соответствующей линеаризованной системы. Итерации прекращали, когда выполнялось условие сходимости

$$\frac{\Phi^{n+1} - \Phi^n}{\Phi_{\text{max}}^{n+1} - \Phi_{\text{min}}^{n+1}} \leq 0,00001, \quad (11)$$

где  $\Phi$  – каждая из переменных  $k$ ,  $\varepsilon$ ,  $u$ ,  $v$  или  $P$ , а  $n$  – номер итерации. Указанное условие обеспечивает точность, близкую к ошибкам округления.

### 3. Результаты численного решения

Рассматриваемый колебательный процесс нестационарный и циклически повторяющийся. На рис. 2. представлены профили средней скорости по радиусу реактора в зависимости от времени. Как видно, момент выхода на установившийся циклически повторяющийся режим соответствует  $t = 2,1$  с. Поэтому представленные ниже результа-

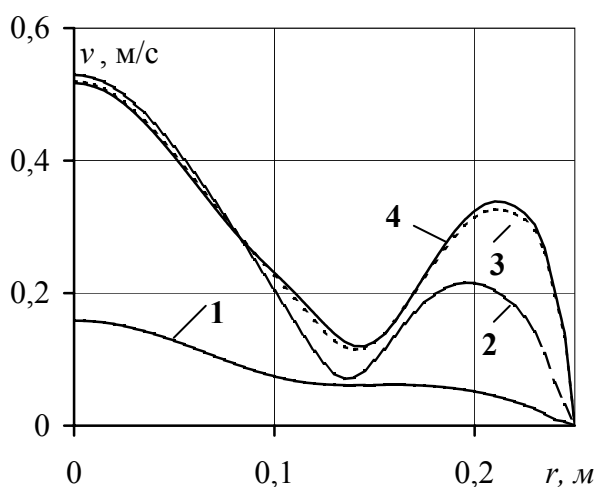


Рис. 2. Зависимость средней скорости от радиуса в сечении близком ко дну тупика для различных моментов времени. 1 –  $t = 0,5$  с; 2 – 1,3; 3 – 2,1; 4 – 2,9.

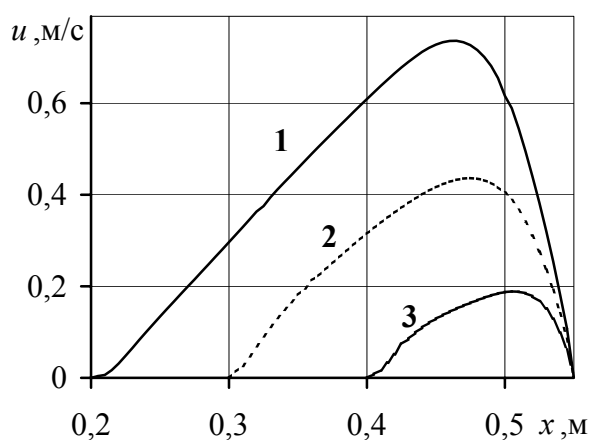
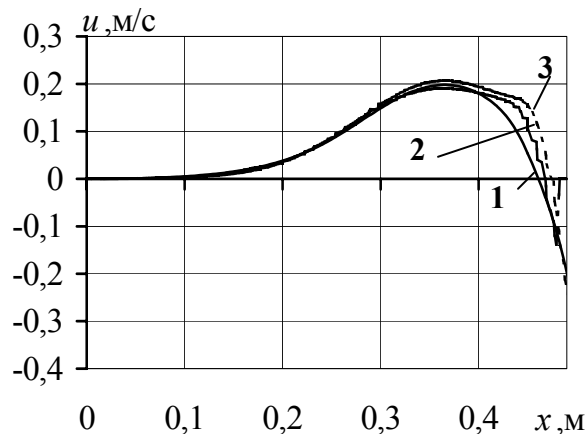


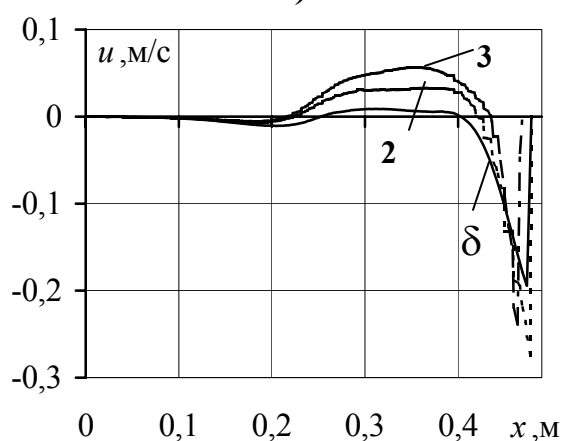
Рис. 3. Зависимость продольной скорости на оси от координаты для различных глубин погружения: 1 –  $h = 0,2$  м; 2 – 0,3; 3 – 0,4.

ты приведены к седьмому периоду от начала работы.

Анализ динамических характеристик работы аппарата начнем с осевой скорости. На рис. 3 представлена зависимость продольной скорости на оси от координаты для различных глубин погружения: 0,2 м; 0,3 м; 0,4 м. Как видно струя достигает дна тупика во всех трех случаях. Однако максимальная скорость в ядре струи реализуется при глубине погружения равной 0,2 м. Угол раскрытия струи составляет  $8...12^\circ$ , поэтому необходимо исследовать, что происходит в остальной области реактора. Зависимость продольной скорости от координаты для сечений, составляющих 0,5 и 0,25 радиуса представлены на рис. 4а, б. Максимальная продольная скорость в обоих случаях

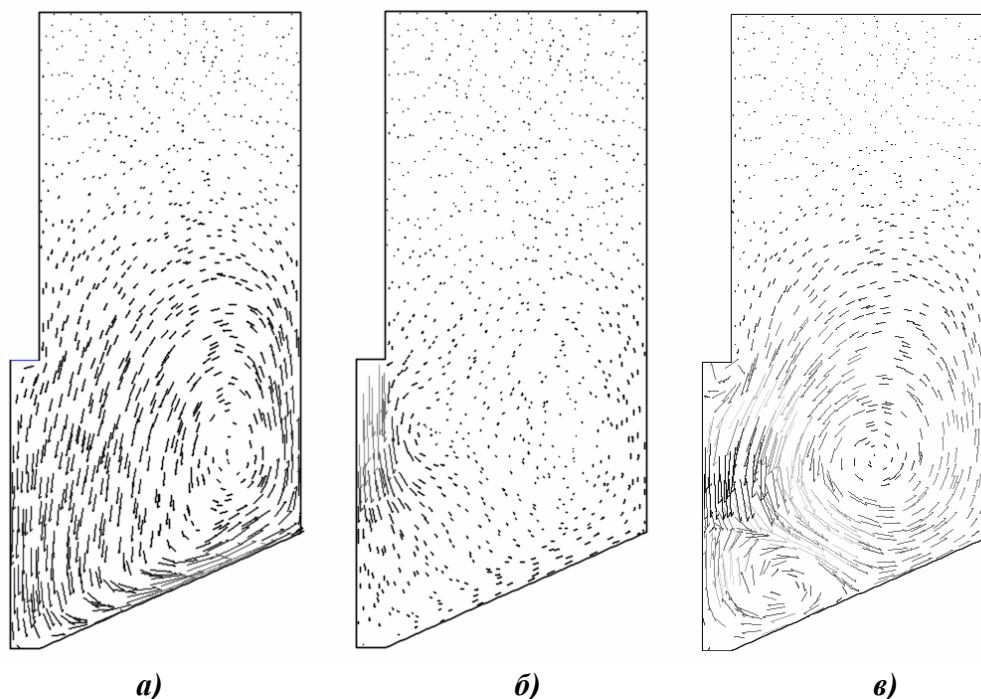


а)



б)

Рис. 4. Зависимость продольной скорости от координаты для сечений, составляющих: а – 0,5 радиуса, б – 0,25. 1 –  $h = 0,2$  м; 2 – 0,3; 3 – 0,4.



**Рис. 5. Поля векторов скорости: а - при работе одной камеры пульсатора в момент времени  $t = 2,8$  с; б - при работе одной камеры пульсатора в момент времени  $t = 2,9$  с; в - при синхронной работе двух камер пульсатора в момент времени  $t = 2,9$  с.**

достигается при глубине погружения 0,4 м. Причем верхние слои, выше среза трубы, практически не захватываются для всех трех случаев. Этот недостаток, по-видимому, необходимо исключить иными технологическими решениями, например, сделать отверстия в трубе так, чтобы захватывались и эти участки. Оптимальная глубина погружения трубы составляет 0,3 м, в этом случае будет более равномерное распределение скоростей, между областью струи и остальным объемом перемешиваемой среды, а следовательно, и более равномерное перемешивание объема в реакторе.

Более отчетливо кинематика процесса выявляется при рассмотрении полей векторов скорости. На рис. 5а представлены поля векторов скорости в момент, соответствующий концу седьмого периода. Как видно в центре камеры образуется мощный тороидальный вихрь, который практически гасится к концу первой четверти периода (рис. 5б) струей жидкости вытекающей из трубы. Далее наступает полупериод всасывания, в конце которого в емкости также образуется тороидальный вихрь. Очевидно, что эффекту перемешивания в реакторе способствует создание подобных вихрей.

При подключении второй камеры пульсатора в области 4 (рис. 1) в асинхронном режиме, т.е. когда с одной стороны наступает период всасывания, а с другой период выталкивания среды, кинематическая картина процесса аналогична с описанной выше. Принципиально отличается картина процесса при синхронной работе обеих камер. В этом случае образуется два вихря рис. 5 в, ими охвачена большая область и, соответственно, достигается более эффективное перемешивание.

### **Выводы**

В результате исследования гидродинамики в реакторе пневмопульсационного перемешивающего устройства камерного типа при помощи РНГ модели турбулентности были выявлены оптимальные характеристики аппарата. Для правильной организации перемешивания в рассмотренном пневмопульсационном аппарате глубина погружения трубы пульсатора в реактор должна составлять 0,3 м. Эффективно подключение второй камеры пульсатора с организацией синхронного режима работы обеих камер.

## ЛИТЕРАТУРА

1. Чайка А.И., Мартыненко М.П. Экстракция из растительного сырья при пульсациях среды. // Труды 1-й межд. науч.- практ. конф. "Современные энергосберегающие тепловые технологии". – Москва. – 2002. – Т. 3. – С. 242-246.
2. Иваницкий Г.К., Корчинский А.А., Матюшкин М.В. Математическое моделирование процессов в пульсационном диспергаторе ударного типа// Пром. теплотехника. – 2003. – Т. 25. – № 1.
3. Накорчевский А.И., Басок Б.И., Чайка А.И. Пульсаторы с переменной геометрией рабочего объема и влияние обрабатываемых композитов на динамические характеристики пульсаторов// Инж. Физ. Журн. – 1998. – 71. – № 5. – С.775-783.
4. Накорчевский А.И., Басок Б.И. Гидродинамика и тепломассообмен в гетерогенных системах и пульсирующих потоках. – Киев: Наукова думка, 2001. – 348 с.
5. Мартыненко М.П. Моделирование истечения потока в осесимметричный тупик// Пром. теплотехника. – 2004. – Т. 26. – № 3. – С. 32-37.
6. А.А. Авраменко, Б.И. Басок, А.В. Кузнецов. Групповые методы в теплофизике. – Киев: Наукова думка. – 2003. – 484 с.
7. Yakhot V, Orszag S.A., Thangam S., Gatski T.B., Speziale C.G. Development of turbulence models for shear flows by double expansion technique// Phys. Fluids A. – 1992. – 4. – N 7. – P.1510-1520.
8. Yakhot V, Orszag S.A. Renormalization-group analysis of turbulence. I. Basic theory//J.Sci. Comp.1986. – 1. – N 1. – P. 3-51.
9. К. Флетчер. Численные методы на основе метода Галеркина. – М.: «Мир», 1988. – 352 с.

Получено 16.09.2004 г.

УДК 532.5:536.24

АВРАМЕНКО А.А.<sup>1</sup>, БАСОК Б.И.<sup>1</sup>, КУЗНЕЦОВ А.В.<sup>2</sup>

<sup>1</sup> Ин-т технической теплофизики НАН Украины

<sup>2</sup> Университет штата Северная Каролина

## ТЕОРЕТИЧЕСКАЯ ОДНОПАРАМЕТРИЧЕСКАЯ МОДЕЛЬ ТУРБУЛЕНТНЫХ ВЯЗКОСТИ И ТЕМПЕРАТУРОПРОВОДНОСТИ

Запропоновано теоретичну однопараметричну модель турбулентності, що базується на ренормгруповій  $k-\varepsilon$  моделі. Отримана модель узгоджується з існуючими емпіричними моделями, однак, на відміну від них не включає емпіричних даних. Дана модель дає змогу спростити процедуру чисельного моделювання турбулентних течій.

Предложена теоретическая однопараметрическая модель турбулентности, основанная на ренормгрупповой  $k-\varepsilon$  модели. Полученная модель согласуется с существующими эмпирическими моделями, однако, в отличие от них не включает эмпирических данных. Данная модель должна упростить процедуру численного моделирования турбулентных течений.

The theoretical one-parameter model of a turbulence grounded on renormalization group  $k-\varepsilon$  model is offered. The obtained model is compounded with existing empirical models, however, this model does not include empirical datas. The given model should simplify a procedure of a numerical modeling of turbulent flow.

$a$  – эффективная теплопроводность;  
 $k$  – кинетическая энергия турбулентности;  
 $p$  – давление;  
 $Pr_K$  – число Прандтля кинетической энергии турбулентности;  
 $Pr_t$  – турбулентное число Прандтля;  
 $t$  – время;

$T$  – температура;  
 $u_n$  –  $n$ -ая компонента осредненной скорости;  
 $x_n$  – ортогональная  $n$ -ая координата;  
 $\varepsilon$  – скорость диссипации;  
 $\nu$  – коэффициент эффективной вязкости;  
 $\nu_0$  – коэффициент молекулярной вязкости;  
 $\nu_t$  – коэффициент турбулентной вязкости.